

加速度応答スペクトルのアテニュエーション特性とマイクロゾーニング

京大工学部 正員 鹿田弘行 同 大学院 学生員○家入龍太

1. 本研究の概要 本研究では対象地盤動として加速度応答スペクトルに着目し、固有周期T、減衰定数 h をもつ構造物ごとに加速度応答のアテニュエーション特性を求める。つぎに地盤の標準貫入試験によって得られるN値を用いて地盤の軟弱さを定量的に表わす地盤パラメータを定義し、これによってアテニュエーション特性を補正し、加速度応答スペクトルによるマイクロゾーニングを行なう。解析に用いた強震記録は我が国の沖積および洪積地盤上で得られたものに基線および計器特性による補正を施した補正記録で合計82成分であり、このうちの58成分は観測地点におけるN値データが得られている。応答スペクトルのアテニュエーション特性はこれまでにも研究されてきたが^{1), 2)}、本研究ではマイクロゾーニングと一体化した手法として改めて論じようとするものである。

2. 加速度応答スペクトルのアテニュエーション特性

構造物の固有周期T(sec)と減衰定数 h をある値に固定したとき、入力する強震記録ひとつひとつについて最大加速度応答 $S_A(T, h)$ (gal) が算出される。これと各強震記録のマグニチュードM、震央距離 Δ (km)をもとに重回帰分析することにより式(1)で示されるような $S_A(T, h)$ のアテニュエーション特性が求められる。

$$\log \widehat{S_A}(T, h) = b_0(T, h) + b_1(T, h) \cdot M - b_2(T, h) \cdot \log(\Delta + 30) \quad (1)$$

ただし $\widehat{S_A}(T, h)$ は $S_A(T, h)$ の推定値であり、 $b_0(T, h)$, $b_1(T, h)$, $b_2(T, h)$ は (T, h) ごとに定まる回帰係数である。図1～3に解析結果を示す。

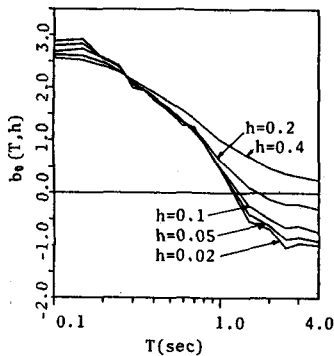


図-1 回帰係数 $b_0(T, h)$

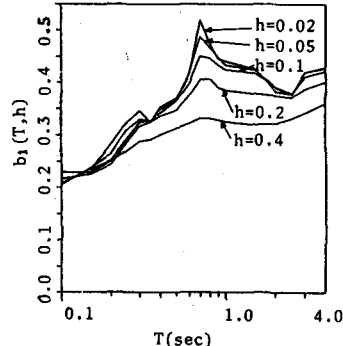


図-2 回帰係数 $b_1(T, h)$

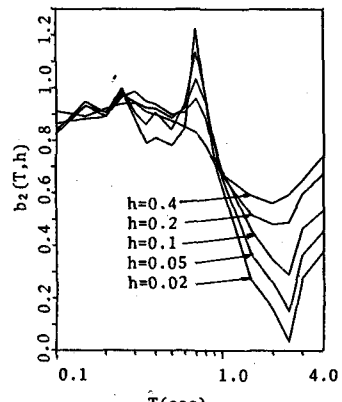


図-3 回帰係数 $b_2(T, h)$

また図-4に① $M=6.0, \Delta=60$ (km), ② $M=7.8, \Delta=60$ (km), ③ $M=7.8, \Delta=180$ (km) の各 M, Δ に対するアテニュエーション式(1)の計算結果を示した。図1～4より加速度応答スペクトルのアテニュエーション特性は地盤動の一般的性質をよく反映していることがわかる。すなわち M の大きな地震ほど長周期成分が卓越し、短周期成分は長周期成分よりも距離減衰が大きいといふ地盤波の性質が応答スペクトルにまといても同様の性質として現われていることがわかる。

Hiroyuki KAMEDA, Ryota IEIRI

3. 地盤条件が応答スペクトルに及ぼす影響

アティニエーション特性に地盤条件による補正を加えるため後藤・龜田・杉戸³⁾によって提案されたN値による地盤パラメータ S_e をもとに、これを応答スペクトル用に正規化した S'_e を用いる。加速度応答の推定値 $\hat{S}_A(T, h)$ と観測値 $S_A(T, h)$ により式(2)のような地盤パラメータを用いた回帰式を定義する。

$$\log U(T, h) = C_{no}(T, h) + C_{nm}(T, h) \cdot S'_e \quad (2)$$

ここに $U(T, h) = S_A(T, h) / \hat{S}_A(T, h)$, $S'_e = (S_e - \beta') / (1/g_{u2} - \beta')$, $C_{no}(T, h)$, $C_{nm}(T, h)$ は (T, h) ごとに定まる定数。 β' は $T_0 = 0.5$ (sec) $h_0 = 0.05$ のとき $\log U(T_0, h_0) = 0$ となるときの S_e の値。 $g_{u2} = 0.021$, $g_{u2} = 0.10$ 。ただし $S_e = \int_0^h \exp(-g_{u2} \cdot N(x)) \cdot \exp(-g_{u2} \cdot x) dx$, $N(x)$: 地下 x (cm) における N 値。 ds : ポーリング深さである。また式(2)において $C_{no}(T, h) = 10^{a_{no}(T, h)}$, $C_{nm} = 10^{a_{nm}(T, h)}$ とおくことにより、式(2)を変形して式(3)が得られ、これを式(1)に乘することにより、地盤条件による補正が行なわれる。

$$C_s(T, h) = C_{no}(T, h) \cdot \{C_{nm}(T, h)\}^{S'_e} \quad (3)$$

図-5 にアティニエーション式(1)と地盤条件を考慮した式(2)の変動係数の比較を示す。また図-6, 7 に $C_{no}(T, h)$, $C_{nm}(T, h)$ を示す。本手法を用いて京都市域を震央とする $M=6.4$ の仮想地震に対し、 $T=0.5$ (sec), $h=0.05$ の場合のマイクロゾーニングを試みた結果を図-8 に示す。

参考文献

- 1) 片山恒雄・岩崎敏男・佐伯光昭
: 土木学会論, 275号, 昭. 53. 7.
- 2) M. D. Trifunac : Proc. ASCE, vol. 104, NO. EM5, Oct. 1978.
- 3) 後藤尚男・龜田弘行・杉戸真太
: 土木学会論, 317号, 昭. 57. 1.

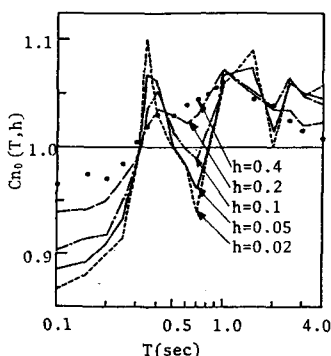


図-6 マイクロゾーニングのための係数 $C_{no}(T, h)$

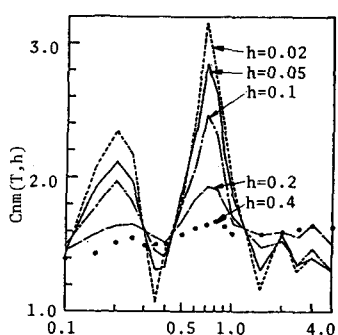


図-7 マイクロゾーニングのための係数 $C_{nm}(T, h)$

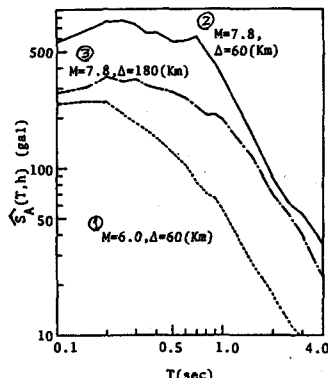


図-4 加速度応答スペクトルのアティニエーション特性

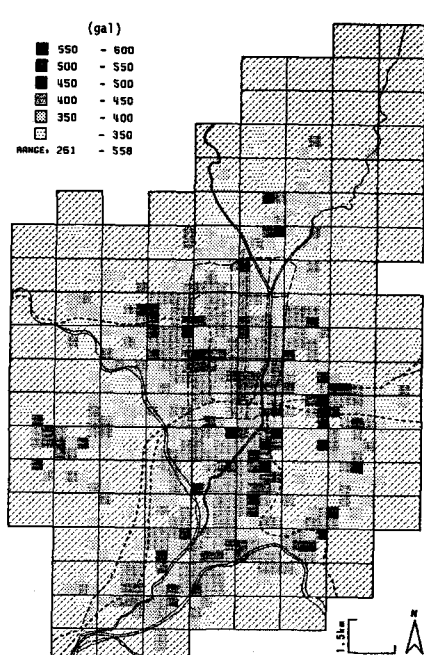


図-8 地盤条件を考慮した加速度応答の分布。 $(T=0.5$ (sec), $h=0.05$)。京都市。